

Letztes mal:

KS32

Satz: im Schwerpunkts- und Hauptachsensystem wird Bewegung es starren Körpers durch die "Eulerschen Gleichungen" beschrieben

$$M_1 = I_1 \dot{\omega}_1 + (I_3 - I_2) \omega_2 \omega_3 \quad (1a)$$

$$M_2 = I_2 \dot{\omega}_2 + (I_1 - I_3) \omega_1 \omega_3 \quad (1b)$$

$$M_3 = I_3 \dot{\omega}_3 + (I_2 - I_1) \omega_1 \omega_2 \quad (1c)$$

Komponenten von ω_j und M_j sind bezogen auf das körperfeste Hauptachsensystem. Vor allem für das Drehmoment kann das unhandlich sein. Wir betrachten deshalb zunächst den freien Kreisel, d.h. (2)

Satz: (1) Für einen unsymmetrischen freien Kreisel ist eine konstante Winkelgeschwindigkeit nur bei Drehung um eine der Hauptträgheitsachsen möglich. (2) Dabei ist nur die Drehung um das größte oder kleinste Hauptträgheitsmoment stabil.

Beweis von (1): *Annahme: sei $\vec{\omega} = \text{konst.}$, \Rightarrow* (3)

$$(1) \Rightarrow \begin{aligned} (I_3 - I_2) \omega_2 \omega_3 &= 0 \\ (I_1 - I_3) \omega_1 \omega_3 &= 0 \\ (I_2 - I_1) \omega_1 \omega_2 &= 0 \end{aligned} \quad (4)$$

Aber: Für unsymmetrischen Kreisel gilt für alle Differenzen:

(1) KS33

\Rightarrow (2)

\Rightarrow Drehung findet um diese Hauptachse statt! (3) \square

Beweis von (2): ω_1 sei fest vorgegeben, und betrachte eine kleine Störung in 2,3-Richtung: ("Stabilitätsanalyse")

$$\begin{aligned} \omega_1 \\ \omega_2 \\ \omega_3 \end{aligned} \quad \text{kleine Störung} \quad (4)$$

Wir betrachten in den Eulerschen Gleichungen (32.1) die Terme

$$0 = I_1 \dot{\omega}_1 + (I_3 - I_2) \omega_2 \omega_3 \quad (5)$$

$$0 = I_2 \dot{\omega}_2 + (I_1 - I_3) \omega_1 \omega_3 \quad (6)$$

$$0 = I_3 \dot{\omega}_3 + (I_2 - I_1) \omega_1 \omega_2 \quad (7)$$

(3.6) $0 = I_2 \dot{\epsilon}_2 + (I_1 - I_2) \omega_1 \epsilon_3$

K534

(1)

(1) : $0 =$ mit

(2)

Analog:

$0 =$

(3)

Fallunterscheidung:

(a) I1 ist größtes oder kleinstes Moment:

$\epsilon_2(t)$

$\epsilon_2(t) = \epsilon_2(0) \cos(\sqrt{\alpha} t) + \gamma_2 \sin(\sqrt{\alpha} t)$

(4)

$\Rightarrow \omega_1(t) \approx \text{const. ist}$

konst. durch $\dot{\epsilon}_2(0)$ bestimmt

(a) I2 ist das mittlere Moment:

$\epsilon_2(t)$

$\epsilon_2(t) = \epsilon_2(0) [e^{\sqrt{|\alpha|} t} + e^{-\sqrt{|\alpha|} t}] + \gamma_2 [e^{\sqrt{|\alpha|} t} - e^{-\sqrt{|\alpha|} t}]$

(5)

(außer wenn

)

$\Rightarrow \omega_1(t) \approx \text{const ist}$

Beispiel für unsymmetrischen Kreisel:

K535

Saturn-Mond Hyperion, mit Halbachsen von etwa 190 km, 145 km, 114 km, ist sehr unsymmetrisch.

Folglich erzeugen die Euler-Gleichungen sehr komplizierte (chaotische) Dynamik:

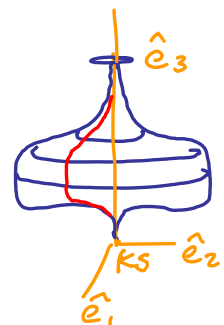
Konkret: eine (hypothetische Messung der momentanen räumlichen Orientierung auf 10 Stellen genau

durch Voyager I im November 1980 wäre nicht ausreichend gewesen, um die Groborientierung der Achse beim Vorbeiflug von Voyager II im August 1981 vorherzusagen...

Kräftefreier symmetrischer Kreisel

Grundannahmen:

(1)



"Figurenachse" =

Euler-Gleichungen:

$0 = I_1 \dot{\omega}_1 + (I_3 - I_2) \omega_2 \omega_3$

(2)

(3.1):

$0 = I_2 \dot{\omega}_2 + (I_1 - I_3) \omega_1 \omega_3$

(3)

$0 = I_3 \dot{\omega}_3 + (I_2 - I_1) \omega_1 \omega_2$

(4)

(1) KS36

$\dot{\omega}_1 =$ mit

$\dot{\omega}_2 =$ (2)

$(1), (2): \dot{\omega}_1 = \Rightarrow$ (3)

Lösung:

$\omega_1(t) = \bar{\omega} \sin(\Omega t + \psi_0)$ (4)

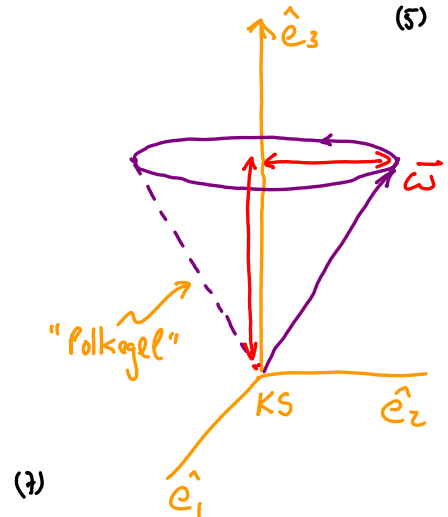
$\omega_2(t) = \bar{\omega} \cos(\Omega t + \psi_0)$ (5)

Momentane Drehachse präzediert im KS um Figurenachse

bewegt sich im KS auf dem "Polkegel",

mit Öffnungswinkel: $\gamma =$ (6)

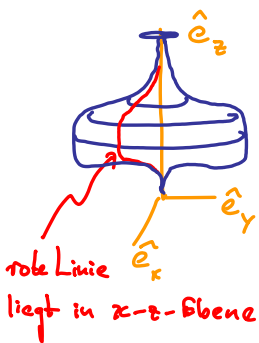
Betrag der Winkelgeschw. ist konstant: $\omega^2 = \omega_1^2 + \omega_2^2 + \omega_3^2$
(4.5), (3.5.4)



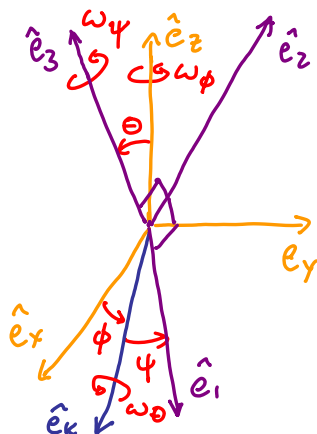
Aber wie sieht diese Bewegung im Inertialsystem IS aus?
Hierzu benötigen wir die Euler-Winkel!

KS37

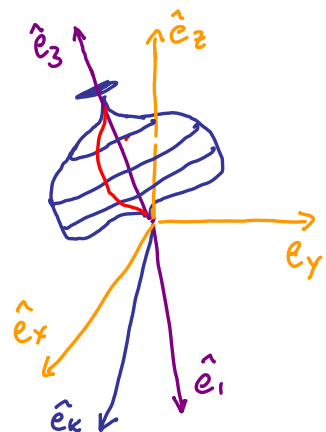
Ausgangsstellung:



Skizze von Seite K7



Endstellung:



Interpretation der Euler-Winkel für Kreisel:

Winkel zwischen Figurenachse (1)

Drehung der Figurenachse um (2)

(3)

Wähle Drehimpulsvektor in z-Richtung: $\vec{L} =$

(weil $\vec{M} = 0$)

Komponenten von \vec{L} in KS:

$L_i = \vec{L} \cdot \hat{e}_i =$

$L_1 = L \hat{e}_z \cdot \hat{e}_1 = L \sin \theta \sin \varphi \stackrel{(31.2)}{=} \stackrel{(36.4)}{=} \quad (1)$

$L_2 = L \hat{e}_z \cdot \hat{e}_2 = L \sin \theta \cos \varphi \stackrel{(31.2)}{=} \stackrel{(36.5)}{=} \quad (2)$

$L_3 = L \hat{e}_z \cdot \hat{e}_3 \stackrel{(7.1A)}{=} L \cos \theta = \boxed{\quad} \stackrel{(25.4)}{=} \quad (3)$

Aus (3) folgt

$\theta \stackrel{(3)}{=} \quad (4)$

Aus (1) und (2) folgt:

$\varphi = \quad (5)$

Bestimme nun $\vec{\omega}$:

$\vec{\omega} \stackrel{(8.1)}{=} \dot{\phi} \hat{e}_z + \dot{\theta} \hat{e}_\theta + \dot{\psi} \hat{e}_3 \quad (6)$

Komponenten von $\vec{\omega}$ in

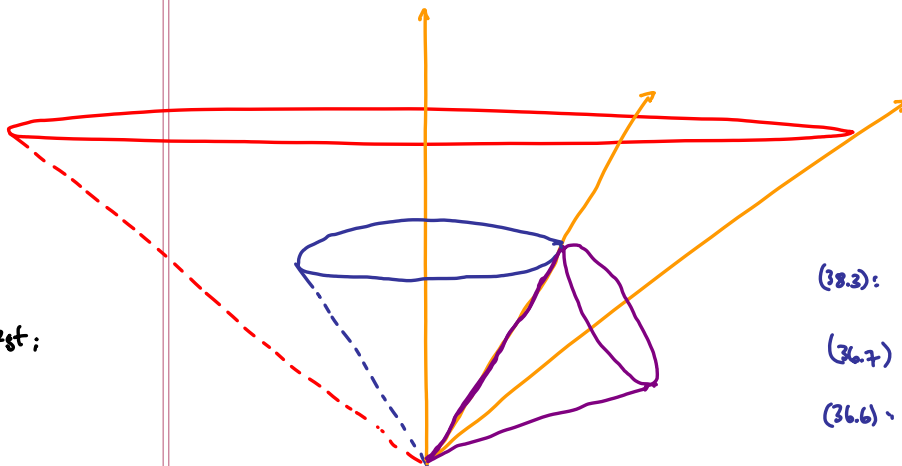
$\hat{e}_1 \cdot \hat{e}_2 \stackrel{(1)}{=} \sin \theta \cos \theta$

$\omega_1 = \hat{e}_1 \cdot \vec{\omega} \stackrel{(8.4)}{=} \dot{\phi} \sin \theta \sin \varphi \quad (7)$

Präzession mit $\dot{\phi}$:

$\dot{\phi} = \boxed{\quad} \quad (8)$

Visualisierung im raumfesten IS:



Wir legen fest:

- $\omega_3 \Rightarrow$
- $\bar{\omega} \Rightarrow$

$(38.3): L_3 = I_3 \omega_3 = \text{const}$

$(36.7): \omega^2 = \bar{\omega}^2 + \omega_3^2$

$(36.6): \varphi = \arctan \bar{\omega} / \omega_3$

Ergebnisse für Euler-Winkel für freien, symmetrischen Kreisel:

1. Winkel zwischen Figurenachse \hat{e}_3 und \hat{z} -Achse : $\theta \stackrel{(38.6)}{=} \arctan \frac{\bar{\omega} I}{\omega_3 I_3} \quad (1)$

2. Drehung der Figurenachse um \hat{z} -Achse : $\dot{\phi} \stackrel{(38.7)}{=} \frac{\bar{\omega}}{\sin \theta} \quad (2)$

3. Drehung des Körpers (also von KS) um Figurenachse \hat{e}_3 . $\dot{\psi} \stackrel{(38.5)}{=} \Omega \stackrel{(36.1)}{=} \omega_3 \left(1 - \frac{I_2}{I_1}\right) \quad (3)$

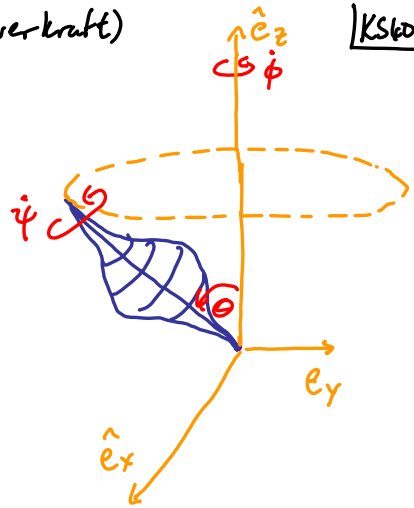
Schwerer symmetrischer Kreisel

($\vec{M} \neq 0$ wegen Schwerkraft)

KS60

Wähle Unterstützungspunkt auf Figurenachse.

Da Drehmoment in Euler-Gleichung auf KS bezogen wurden muss, ist es einfacher, direkt bei Lagrange-Gl. 2. zu beginnen (statt von Euler-Gl.)



Potentielle Energie:

$$V = \quad (1)$$

Kinetische Energie:

$$T = \frac{1}{2} \sum_{j,m} \omega_j I_{jm} \omega_m \quad (2)$$

im Hauptachsensystem:

$$= \quad (3)$$

ω_j in KS, ausge-
drückt durch
Euler-Winkel:

$$(8.4) \left\{ \begin{aligned} \omega_1 &= \dot{\phi} \sin\theta \sin\psi + \dot{\theta} \cos\psi \\ \omega_2 &= \dot{\phi} \sin\theta \cos\psi - \dot{\theta} \sin\psi \\ \omega_3 &= \dot{\phi} \cos\theta + \dot{\psi} \end{aligned} \right.$$

I_{jm} sei Trägheitstensor
bezüglich Unterstützungspunkt
(nicht SP)

(4)

(8.4) in (8.3):

$$T =$$

KS61

(1)

$$L = T - U = L(\phi, \psi, \theta; \dot{\phi}, \dot{\psi}, \dot{\theta})$$

(2)

Zyklische Variablen:

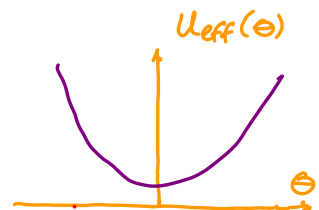
→ Erhaltungsgrößen

(3)

Energie-Erhaltung
(weil $\frac{\partial L}{\partial t} = 0$):

$$\text{const.} = E = \frac{\partial L}{\partial \dot{\phi}} \dot{\phi} + \frac{\partial L}{\partial \dot{\psi}} \dot{\psi} + \frac{\partial L}{\partial \dot{\theta}} \dot{\theta} - L \quad (4)$$

Eliminiere $\dot{\phi}$ und $\dot{\psi}$ mittels (4), dann liefert $E = \text{const.}$ eine effektive 1-dimensionale Bewegungsgl. für $\theta(t)$ im effektiven Potential!



$$U_{\text{eff}}(\theta) = \frac{(L_2 - L_3 \cos\theta)^2}{2I \sin^2\theta} + mgs \cos\theta - \frac{L_3^2}{2I_3} \quad (5)$$

⇒ Periodische Oszillationen von $\theta(t)$! "Nutation"
"Reguläre" Präzession: falls $\theta = \theta_0 = \text{const.}$

